

北海道大学 正員 能町純雄
苫小牧高専 正員 ○澤田知之

1. あらがき

本稿は、近年群杭ヒンチソーンの中間の剛性を伴う基礎として、軟弱地盤によく用いられる鋼管井筒基礎を取り上げたものであるが、従来の設計指針¹⁾に見られる合成効率と概念を変えて、互いに隣接する杭の継手に1種のバネ定数、 k_N 、 k_T を考えて個々の杭を継手による力の伝達を含めて、その評価を行なうとするものである。

解析は、各々の杭が受け持つ力を和分変換と有限フーリエ変換によって処理して3本の基本微分差分方程式を導出し、収束の速い簡単な解を知り得る。これにより、実物に即して構造を解くことができる。

2. 解析概要

図-1に示す如くに、変位、力の関係を取り要素の断面は不变とする。又、ヒンチ継手は、鋼管の直徑に付けてあるものとし、節点力と変位の関係は、継手効率 k_T 、 k_N を各々構造物の接線方向、半径方向のずれに比例する伝達力の係数を考えると次に示す関係式が示される。

$$P_{\text{rel}} = k_N \left[\{\Delta U_r(x) - \nabla \theta_r(x) \cdot a\} \cos \alpha + \nabla V_r(x) \sin \alpha \right] - ① \quad T_{r \pm \frac{1}{2}} = k_T \left[-\nabla U_r(x) + \Delta \theta_r(x) \cdot a \right] \sin \alpha + \Delta V_r(x) \cos \alpha - ②$$

次に、pile要素中の中央座標 x を半径方向曲げ、接線方向曲げ、及び重りの力の均分合式をとる式に示す如く整理される。

$$\begin{aligned} EI: U_r(x) + KD \cdot U_r(x) &= N_r(x) + k_N \left[\{\Delta U_r(x) - \Delta \theta_r(x) \cdot a\} \cos \alpha + \Delta V_r(x) \sin \alpha \right] \cos \alpha + k_T \left[\Delta \theta_r(x) \sin \alpha \right. \\ &\quad \left. - \{\Delta^2 U_r(x) - 4U_r(x)\} \sin \alpha + \Delta^2 V_r(x) \cos \alpha \right] \sin \alpha \end{aligned} - ③$$

$$\begin{aligned} EI: \ddot{V}_r(x) + KD \cdot \dot{V}_r(x) &= T_r(x) - k_T \left[\Delta^2 U_r(x) - 4\theta_r(x) \right] a \cos \alpha + \left[\Delta^2 V_r(x) - 4\dot{V}_r(x) \right] \sin \alpha \\ &\quad + k_T \left[\{-\Delta U_r(x) + \Delta^2 \theta_r(x) \cdot a\} \sin \alpha + \Delta^2 V_r(x) \cos \alpha \right] \cos \alpha \end{aligned} - ④$$

$$\begin{aligned} EI: \ddot{\theta}_r(x) &= M_r(x) + k_T \left[\{\Delta U_r(x) - \Delta^2 \theta_r(x) + 4\theta_r(x) \cdot a\} \cos \alpha + \{\Delta^2 V_r(x) - 4\dot{V}_r(x)\} \sin \alpha \right] \cdot a \cos \alpha \\ &\quad + k_T \left[\{-\Delta U_r(x) + \Delta^2 \theta_r(x) \cdot a\} \sin \alpha + \Delta^2 V_r(x) \cos \alpha \right] \cdot a \sin \alpha \end{aligned} - ⑤$$

$$z = z; \quad \Delta F_r(x) = F_{rr}(x) - F_r(x) \quad \Delta^2 F_r(x) = F_{rrr}(x) - 2F_{rr}(x) + F_{rrr}(x) \quad K = D \cdot k \quad k: \text{地盤反力係数} (\text{kN/cm}^3)$$

$$\Delta \dot{F}_r(x) = F_{rrt}(x) + F_r(x) \quad \Delta^2 \dot{F}_r(x) = F_{rrtt}(x) - F_{rrt}(x) - F_{rrt}(x)$$

$$D: \text{鋼管直徑 cm}$$

$$F_r(x) = \frac{\partial^2 F_r(x)}{\partial z^2} \quad \dot{F}_r(x) = \frac{\partial^2 \dot{F}_r(x)}{\partial z^2}$$

EI: 曲げ剛度 ($\text{kN} \cdot \text{cm}^2$) M_r : 扉り剛度 ($\text{kN} \cdot \text{cm}^2$) N_r : T_r : M_r : 外力
よって ③ ④ ⑤ 式を各々構造の固有方向 = Fourier-Cosine 定和分変換、Sine 定和分変換 又、軸方向に有限 Fourier-Sine 変換を施して、天端に水平荷重 P が作用する場合の一般式を求める式を示す ⑥ ⑦ ⑧ の様に表わすことができる。これは有限 Fourier-Sine 逆変換を施した結果であり、この境界値を知りて、各々 cosine と sine の定和分変換を行なうと求めた断面力を知り得る。尚、境界条件は、天端では自由端であり、根元では岩盤等の硬い地盤に pile が根入れとして打ち込まれヒンチ状態になつているものとした場合の式を示してある。

$$\begin{aligned}
C_i[U_r(x)] &= \frac{2}{l} \sum_{m=1}^{\infty} \frac{1}{DD} * \left\{ m^5 + C_3 \cdot m^3 + B_2 \cdot m + B_2 \cdot C_3 \cdot \frac{1}{m} \right\} \cdot \sin \frac{m\pi}{l} x \cdot D_1 * C_i[\theta_0 - \theta_r(-1)^m] \\
&+ \frac{2}{l} \sum_{m=1}^{\infty} \left[\frac{-1}{DD} * \left\{ (P_1 - C_3) \cdot m^7 + (P_2 - B_2) \cdot m^5 + (P_3 - B_2 \cdot C_3 + B_3 \cdot C_2) \cdot m^3 + P_4 \cdot m + \frac{P_5}{m} \right\} + \frac{1}{m} \right] \cdot \sin \frac{m\pi}{l} x \cdot E_1 * C_i[U_r(0)] \\
&+ \frac{2}{l} \sum_{m=1}^{\infty} \frac{1}{DD} * \left\{ B_3 \cdot C_1 \cdot m^3 - B_1 \cdot (m^5 + C_3 \cdot m^3) \right\} \cdot \sin \frac{m\pi}{l} x \cdot E_2 * C_i[V_r(0)] \\
&+ \frac{2}{l} \sum_{m=1}^{\infty} \frac{1}{DD} * \left\{ B_2 \cdot C_2 \cdot m - C_1 \cdot (m^5 + B_2 \cdot m) \right\} \cdot \sin \frac{m\pi}{l} x \cdot E_3 * C_i[\theta_r(0)] \quad \text{⑥}
\end{aligned}$$

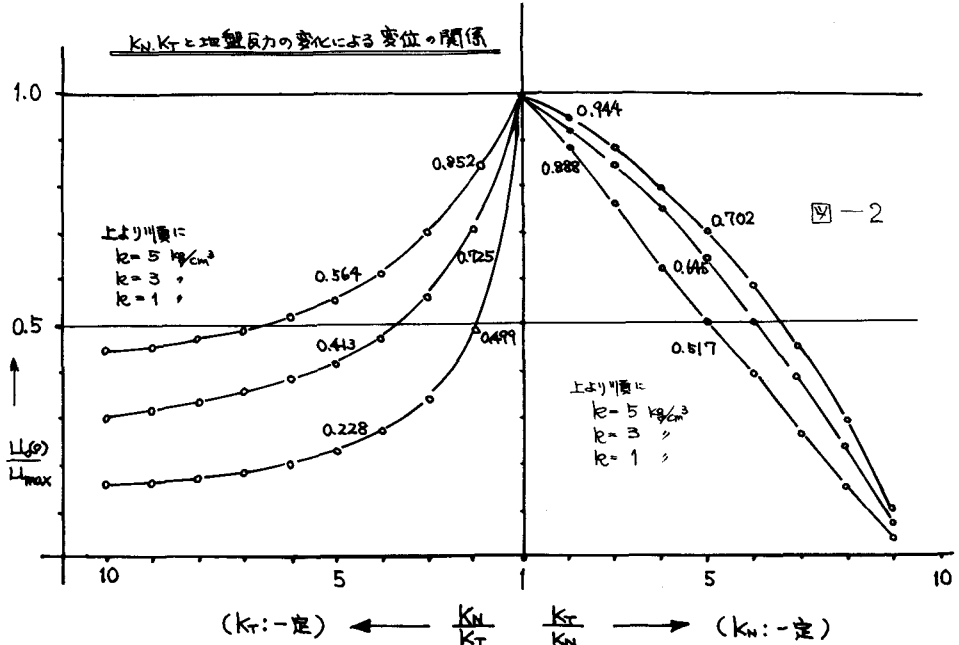
$$\begin{aligned}
E_i[V_r(x)] &= \frac{2}{l} \sum_{m=1}^{\infty} \frac{1}{DD} * \left\{ (A_3 \cdot C_2 - A_2 \cdot C_3) \cdot \frac{1}{m} - A_2 \cdot m \right\} \cdot \sin \frac{m\pi}{l} x \cdot D_1 * C_i[\theta_0 - \theta_r(-1)^m] \\
&+ \frac{2}{l} \sum_{m=1}^{\infty} \frac{1}{DD} * \left\{ (A_3 \cdot C_2 - A_2 \cdot C_3) \cdot m^3 - A_2 \cdot m^5 \right\} \cdot \sin \frac{m\pi}{l} x \cdot E_1 * C_i[U_r(0)] \\
&+ \frac{2}{l} \sum_{m=1}^{\infty} \frac{1}{DD} * \left[\frac{-1}{DD} * \left\{ (P_1 - C_3) \cdot m^7 + (P_2 - A_1) \cdot m^5 + (P_3 - A_1 \cdot C_3 + A_3 \cdot C_1) \cdot m^3 + P_4 \cdot m + \frac{P_5}{m} \right\} + \frac{1}{m} \right] \cdot \sin \frac{m\pi}{l} x \cdot E_2 * C_i[V_r(0)] \\
&+ \frac{2}{l} \sum_{m=1}^{\infty} \frac{1}{DD} * \left\{ (A_2 \cdot C_1 - A_1 \cdot C_2) \cdot m - C_2 \cdot m^5 \right\} \cdot \sin \frac{m\pi}{l} x \cdot E_3 * C_i[\theta_r(0)] \quad \text{⑦}
\end{aligned}$$

$$\begin{aligned}
S_i[\theta_r(x)] &= \frac{2}{l} \sum_{m=1}^{\infty} \frac{1}{DD} * \left\{ (A_2 \cdot B_3 - A_3 \cdot B_2) \cdot \frac{1}{m} - A_3 \cdot m^3 \right\} \cdot \sin \frac{m\pi}{l} x \cdot D_1 * C_i[\theta_0 - \theta_r(-1)^m] \\
&+ \frac{2}{l} \sum_{m=1}^{\infty} \frac{1}{DD} * \left\{ (A_2 \cdot B_3 - A_3 \cdot B_2) \cdot m^3 - A_3 \cdot m^7 \right\} \cdot \sin \frac{m\pi}{l} x \cdot E_1 * C_i[U_r(0)] \\
&+ \frac{2}{l} \sum_{m=1}^{\infty} \frac{1}{DD} * \left\{ (A_3 \cdot B_1 - A_1 \cdot B_3) \cdot m^3 - B_3 \cdot m^7 \right\} \cdot \sin \frac{m\pi}{l} x \cdot E_2 * C_i[V_r(0)] \\
&+ \frac{2}{l} \sum_{m=1}^{\infty} \frac{1}{DD} * \left[\frac{-1}{DD} * \left\{ P_1 \cdot m^3 + (P_2 - A_1 - B_2) \cdot m^5 + P_3 \cdot m^3 + (P_4 - A_1 \cdot B_2 + A_2 \cdot B_1) \cdot m + \frac{P_5}{m} \right\} + \frac{1}{m} \right] \cdot \sin \frac{m\pi}{l} x \cdot E_3 * C_i[\theta_r(0)] \quad \text{⑧}
\end{aligned}$$

$$\begin{aligned}
c = c' &: P_1 = C_3, \quad E_1 = E_2 = \frac{f}{l} \quad A_1 = \frac{1}{EI} \left(\frac{f}{l} \right)^4 \{ K_D + K_N \cdot D_1 \cdot \cos^2 d + K_T \cdot (4 - D_1) \cdot \sin^2 d \} \\
&P_2 = A_1 + B_2 \quad E_3 = \frac{f}{l} \quad A_2 = \frac{1}{EI} \left(\frac{f}{l} \right)^4 \cdot 2 \cdot S_1 \cdot \sin d \cdot \cos d (K_N + K_T) \quad B_3 = \frac{1}{EI} \left(\frac{f}{l} \right)^2 a \cdot \sin d \cdot \cos d \{ K_N (4 - D_1) + K_T \cdot S_1 \} \\
&P_3 = C_3 (A_1 + B_2) - B_3 \cdot C_2 \quad A_3 = \frac{1}{EI} \left(\frac{f}{l} \right)^2 \cdot 2 \cdot S_2 \cdot a (K_T \cdot \sin^2 d - K_N \cdot \cos^2 d) \quad C_1 = \frac{1}{EI} \left(\frac{f}{l} \right)^4 \cdot 2 \cdot S_2 \cdot a (K_N \cdot \cos^2 d - K_T \cdot \sin^2 d) \\
&P_4 = A_1 \cdot B_2 - B_1 \cdot A_2 - C_1 \cdot A_3 \quad B_1 = \frac{1}{EI} \left(\frac{f}{l} \right)^4 \cdot \{ K_D + K_N (4 - D_1) \cdot \sin^2 d + K_T \cdot D_1 \cdot \cos^2 d \} \quad C_2 = \frac{1}{EI} \left(\frac{f}{l} \right)^4 a \cdot \sin d \cdot \cos d \{ K_T \cdot D_1 - K_N (4 - D_1) \} \\
&P_5 = A_1 \cdot B_2 \cdot C_3 - A_3 \cdot B_2 \cdot C_1 - A_1 \cdot B_3 \cdot C_2 - A_2 \cdot B_1 \cdot C_3 \quad B_2 = \frac{1}{EI} \left(\frac{f}{l} \right)^4 \cdot \{ K_D + K_N (4 - D_1) \cdot \sin^2 d + K_T \cdot D_1 \cdot \cos^2 d \} \quad C_3 = \frac{1}{EI} \left(\frac{f}{l} \right)^2 \{ K_T \cdot S_1 \cdot \sin^2 d - K_N (4 - D_1) \cdot \cos^2 d \} \\
&DD = m^{10} + P_1 \cdot m^8 + P_2 \cdot m^6 + P_3 \cdot m^4 + P_4 \cdot m^2 + P_5 \quad D_1 = \frac{1}{EI} \left(\frac{f}{l} \right)^3 \quad S_1 = \sin \frac{m\pi}{l} \quad D_2 = 2(1 - \cos \frac{m\pi}{l}) \quad C_i[F_r(x)] = \sum_{n=1}^{\infty} F_n(x) \cdot \cos \frac{n\pi}{l} x \quad S_i[F_r(x)] = \sum_{n=1}^{\infty} F_n(x) \cdot \sin \frac{n\pi}{l} x
\end{aligned}$$

3. 数値計算例

今、構造全体長10m、鋼管数10本、钢管直徑80cmの構造について、 K_N 、 K_T を変化における、最大の変位である末端変位 $U_r(0)$ の比の変化を地盤反力係数の違いによる変化に沿って図-2に示す。



*参考文献: 1) 板板式基礎の設計と施工指針一同解説(板板式基礎研究委員会)
2) 水平鋼管矢板構造の耐震効果について(能町・澤田・佐藤:北海道支部)
尚、数値計算は、北海道大学FACOM 230-60/75
(論文報告書、昭和52年度) 及び苦小牧高専 HITAC 8250 を使用した。